

اثر ضخامت نمونه و تغییر ساختار در تخریب گرمایی اکسایشی پلی بوتادی ان

مجله علوم و تکنولوژی پلیمر،
سال بیست و چهارم، شماره ۵،
صفحه ۱۳۹۰، ۹۳-۹۹

ISSN: 1016-3255

فرشید ضیابی^{*}، آیدا شوستری زاده^۲

۱- تهران، پژوهشگاه پلیمر و پتروشیمی ایران، صندوق پستی ۱۴۹۶۵-۱۱۵

۲- اصفهان، دانشگاه صنعتی اصفهان، دانشکده مهندسی شیمی، صندوق پستی ۸۴۱۵۶

دریافت: ۹۰/۹/۲۸، پذیرش: ۹۰/۴/۱۸

چکیده

تخریب گرمایی اکسایشی دو رزین مایع گرانبرو ۲۰۱-پلی بوتادی ان و ۱۴-پلی بوتادی ان به وسیله روش های گرماسنجی پویشی تفاضلی (DSC) و گرماآزن سنجی (TGA) بررسی شده است. همچنین، اثر ضخامت نمونه روی سینتیک اکسایش به کمک روش های TGA و DSC در دمای ثابت 100°C و فشار اتمسفر مطالعه و با یکدیگر مقایسه شد. در نهایت، تغییر ساختار ایجاد شده در ۱۴-پلی بوتادی ان به روش رزونانس مغناطیسی هسته کربن (^{13}C NMR) بررسی و تشکیل گروه های اپوکسید به عنوان عده ترین محصول اکسایش تشخیص داده شد. تشکیل کربن گروه اپوکسید در ناحیه $58/6\text{ ppm}$ ، کربن متیلن مجاور گروه اپوکسید در ناحیه $24/0\text{ ppm}$ و کربن گروه متین از گروه اپوکسید نیز در جایه جایی شیمیایی $87/7\text{ ppm}$ نشان دهنده تغییر در ساختار ۱۴-پلی بوتادی ان است. نتایج نشان داد، برخلاف ۱۴-پلی بوتادی ان به علت داشتن ایزومر ۲۰۱-وینیل در ساختار تحت تأثیر اکسایش گرمایی قرار نمی گیرد و تغییری در ساختار آن ایجاد نمی شود. این در حالی است که در ۱۴-پلی بوتادی ان افزایش وزن، به علت جذب اکسیژن و مصرف پیوند دوگانه، مشاهده می شود. افزون بر این مشاهده شد، با افزایش ضخامت نمونه، مقدار افزایش وزن به ازای واحد وزن نمونه کاهش می یابد.

واژه های کلیدی

پلی بوتادی ان،
گرماسنجی پویشی تفاضلی،
رزونانس مغناطیسی هسته،
تخریب گرمایی اکسایش،
گروه اپوکسید

* مسئول مکاتبات، پیام نگار:

f.ziae@ippi.ac.ir

اثبات رسید. در ادامه، اثر ضخامت نمونه بر مقدار اکسایش^۱-۴ پلی بوتادیان به کمک روش‌های TGA و DSC بررسی شد. بررسی و مقایسه اثر تخریب گرمایی اکسایشی روی دو پلیمر^{۱-۲}-پلی بوتادیان و^{۳-۴}-پلی بوتادیان با استفاده از DSC و مطالعه ساختار به وسیله روش^۵^۶ ^۷^۸ C NMR از موارد جالبی است که کمتر در پژوهش‌ها به آن اشاره شده است.

تجربی

مواد

۱-۴- پلی بوتادیان دارای وزن مولکولی متوسط عددی ۱۵۰۰ g/mol ساخت شرکت Aldrich است. این ماده در شرایط محیط مایعی بی‌رنگ و شفاف، با گرانزوی ۶۷۵ mPa.s^۹ تا ۸۲۵ است.^{۱-۲} پلی بوتادیان ساخت شرکت Aldrich با مشخصات شکل ظاهری مایع بی‌رنگ و شفاف و بسیار گرانزوی با گرانزوی ۳۰ Poise در ۴۵°C، چگالی ۰/۸۶ g/cm^۳ و دمای انتقال شیشه‌ای ۳۰°C است.^{۱-۴} پلی بوتادیان و^{۱-۲}-پلی بوتادیان بدون مواد نگهدارنده بودند و بدون خالص‌سازی استفاده شدند. درصد ایزومرهای موجود در هر دو نمونه پلی بوتادیان در مراجع با روش^{۱۰}^{۱۱} ^{۱۲} H NMR شده و موجود است [۱۶]. حلال کلروفرم آزمایشگاهی به عنوان حلال پلی بوتادیان از شرکت Merck استفاده شد.

دستگاه

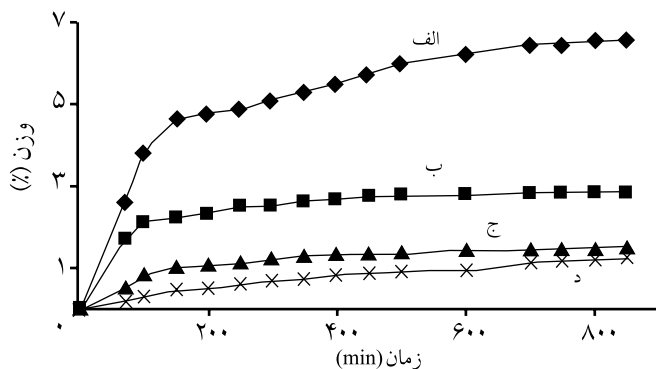
طیف‌های NMR به حالت مایع به وسیله دستگاه طیف‌سنجدی با قدرت مغناطیسی ۴۰۰ MHz، مدل AVANCE ساخت شرکت Bruker انجام شد. غلظت نمونه^{۱۳} C NMR از پلی بوتادیان ۲۰ mg در ۱ mL انجام شد. حلال کلروفرم دوتریم دار در لوله ۵ mm در دمای محیط تهیه شد. مشخصات آزمون‌ها برای طیف‌های^{۱۳} C NMR شامل زاویه فلیپ ۹۰ درجه، زمان تأخیر ۵ s، زمان اکتساب ۱/۰۹ s، تعداد ۱۰۰۰۰ پویش و از برنامه پالس واجفت شدن دروازه‌ای (power gate) استفاده شده است. آزمون DSC به وسیله گرماسنج پویشی تفاضلی مدل PL^{۱۴} ساخت شرکت Polymer Laboratories انجام شد. آزمون‌های TGA نیز با گرماآزن سنج مدل ۱۵۰۰ PL، ساخت شرکت Polymer Laboratories انجام شد.

نمونه‌ها درون ظروف آلومینیمی به قطر ۴ mm و ارتفاع ۲ mm بدون درپوش قرار گرفت. آزمون‌های DSC و TGA در دمای ثابت ۱۰۰°C و به مدت ۱۲۰ min در محیط اتمسفر و وزن‌های متفاوت

مقدمه

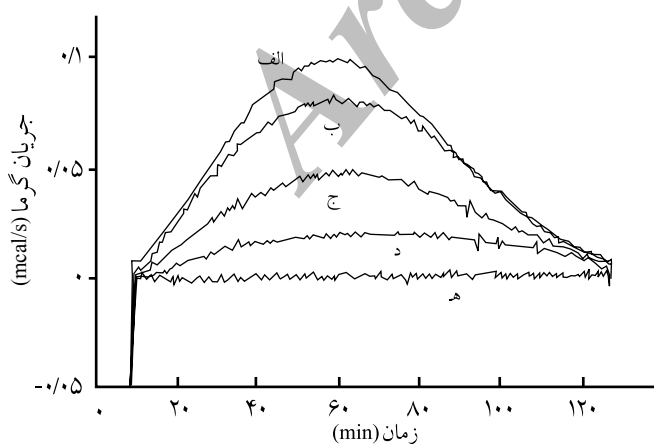
پلی بوتادیان به طور گستردگی در تولید آمیزه‌های پلیمری و در سنتز کوپلیمرهای پرمصرف هم چون ABS (آکریلونیتریل - بوتادیان- استیرن)، SBS (کوپلیمر قطعه‌ای استیرن - بوتادیان) یا HIPS (پلی استیرن مقاوم) کاربرد دارد. هم چنین، خواص فیزیکی این پلیمر سبب شده است که به عنوان لاستیک سنتزی کاربرد فراوانی داشته باشد. به علت مصارف متعدد و تنوع ساختار شیمیایی، مطالعات گستردگی‌ای روی تخریب پلی بوتادیان از جنبه‌های مختلف توسط پژوهشگران انجام شده است که می‌توان به تخریب با تابش امواج فرا صوت [۱]، پرتو فرابنفش [۲،۳]، اوزون [۴،۵]، فشار [۶]، گرما [۷-۱۱] و اکسیژن [۱۲-۱۵] اشاره کرد. پلی بوتادیان در میان سایر پلیمرها به عنوان پلیمری شناخته شده است که قابلیت ترکیب با اکسیژن هوا را دارد. علت این واکنش به طور عمده ساختار سینه‌شده واحد تکرارشونده آن است. بنابراین، یکی از مهم‌ترین انواع تخریب که توجه بسیاری از پژوهشگران را به خود جلب کرده، تخریب گرمایی اکسایشی پلی بوتادیان است [۱۲-۱۵]. ساز و کار تخریب، به ترکیب درصد ایزومرهای موجود در ساختار پلی بوتادیان وابسته است [۱۶]. تخریب گرمایی اکسایشی الاستومرهای پلی بوتادیان منجر به ایجاد دامنه وسیعی از محصولات می‌شود که در این میان می‌توان به تشکیل گروه‌های اپوکسید اشاره کرد. در واقع پلی بوتادیان در اثر اکسایش و ایجاد رادیکال درون زنجیر تخریب شده و منجر به شبکه‌ای شدن می‌شود. شبکه‌ای شدن می‌تواند در اثر تشکیل پل‌های آکلیل آکلیل (P-P) و پل‌های پروکسی (POOP) با افزایش رادیکال به پیوند دوگانه در مرحله انتشار یا در اثر افزایش دو رادیکال به یک دیگر در مرحله اختتام رخ دهد [۱۳]. تشکیل گروه‌های (P-P) و (POOP) و در بعضی موارد تشکیل پل‌های اتری (POP) توسط پژوهشگران گزارش شده است [۱۴]. وجود اپوکسیدها در ساختار^{۱۳} C NMR پلی‌دی‌ان‌های اکسایش یافته اساساً با استفاده از طیف De Paoli، این پلیمرها نشان داده می‌شود [۱۰، ۱۶-۱۸]. در این میان، تشکیل گروه‌های پروکسید را با استفاده از طیف سنجدی^{۱۳} C NMR به اثبات رسانده است [۱۷]. در برخی از موارد نیز استفاده از طیف سنجدی زیرقمرن گزارش شده است [۱۲، ۱۳، ۱۷].

در این پژوهش، تخریب گرمایی اکسایشی^{۱-۴}-پلی بوتادیان و^{۱-۲}-پلی بوتادیان بررسی و با یک دیگر مقایسه شده است. افزایش پیوسته وزن نمونه به علت تشکیل گروه‌های اپوکسید به روش وزن‌سنجدی و گرماآزن سنجدی (TGA) مشاهده شد و با استفاده از روش^{۱۳} C NMR وجود گروه‌های اپوکسید و پروکسید حاصل از واکنش پیوندهای دوگانه ایزومرهای سیس و ترانس با اکسیژن به



شکل ۱- نمودار درصد افزایش وزن با زمان در تخریب گرمایی اکسایشی ۱،۴- پلی بوتادیان در دمای 100°C با ضخامت نمونه: (الف) ۱۰۰، (ب)، (ج) ۳۰۰، (د) $500\text{ }\mu\text{m}$

توسط سایر پژوهشگران منطبق است [۱۲]. واقعیت امر را می‌توان این طور توجیه کرد که با افزایش ضخامت نمونه فقط لایه‌های سطحی اکسایش می‌یابد و از یک ضخامت مشخص به بعد اکسایش تحت تاثیر پدیده نفوذ قرار می‌گیرد. نتایج به دست آمده از آزمون DSC را در ۱،۴- پلی بوتادیان و ۱،۲- پلی بوتادیان انجام شد، در شکل ۲ آورده شده است. هر چه ضخامت لایه پلیمری کاهش یابد، سطح زیر منحنی که نشان دهنده مقدار انرژی آزاد شده است، افزایش می‌یابد که در شکل ۲ و در نمونه الف قابل پیگیری است. در حقیقت، با افزایش ضخامت نمونه مقدار انرژی آزاد شده به وسیله لایه‌های سطحی کاهش می‌یابد که نشان دهنده کاهش مقدار اکسایش با افزایش ضخامت نمونه است. مقدار انرژی آزاد شده در زمان‌های مختلف برای نمونه‌های پلی بوتادیان با ضخامت‌های مختلف در جدول ۱ آورده شده است. هدف از متغیر بودن وزن‌های نمونه، تغییر



شکل ۲- دمانگاشت DSC با مقادیر مختلف نمونه: (الف) ۱،۴، (ب) ۱،۲، (ج) ۰،۷۰، (د) ۰،۵۰ از ۱،۴- پلی بوتادیان و (ه) 0.120 min از ۱،۲- پلی بوتادیان در دمای ثابت 100°C و زمان

در محدوده ۴ تا 14 mg انجام شد.

روش‌ها

برای تهیه فیلم‌های رزین پلی بوتادیان با ضخامت مشخص ۱۰۰ تا $500\text{ }\mu\text{m}$ و با توجه به چگالی رزین و اندازه‌گیری ابعاد ظروف شیشه‌ای آزمایشگاهی (پتری دیش)، مقدار مشخصی از رزین در حلال کلروفرم حل و درون ظروف شیشه‌ای ریخته شد. پس از تبخیر حلال درون گرم خانه خلاء، فیلم پلیمری با ضخامت مورد نظر به دست آمد. فیلم پلیمری با ضخامت $2000\text{ }\mu\text{m}$ با ریختن حجم لازم از پلی بوتادیان درون ظروف شیشه‌ای مستقیم و بدون انحلال در حلال به دست آمد.

به منظور بررسی اثر ضخامت نمونه روی تخریب گرمایی اکسایشی پلی بوتادیان نمونه‌هایی به ضخامت $100-2000\text{ }\mu\text{m}$ درون گرم خانه در دمای 100°C قرار داده و در زمان‌های مختلف وزن نمونه با دقت ۴ رقم اعشار اندازه‌گیری شد. هم چنین، با استفاده از روش DSC نیز اثر ضخامت نمونه روی تخریب گرمایی اکسایشی پلی بوتادیان را بررسی شد. بدین منظور نمونه درون ظروف آلومینیمی به قطر ۴ و ارتفاع 2 mm بدون دربوش به مدت 120 min در شرایط آزمایش قرار گرفت. با توجه به مشخصات دستگاه DSC، تبادل گرمایی از بخش پایینی ظرف آلومینیمی انجام شد.

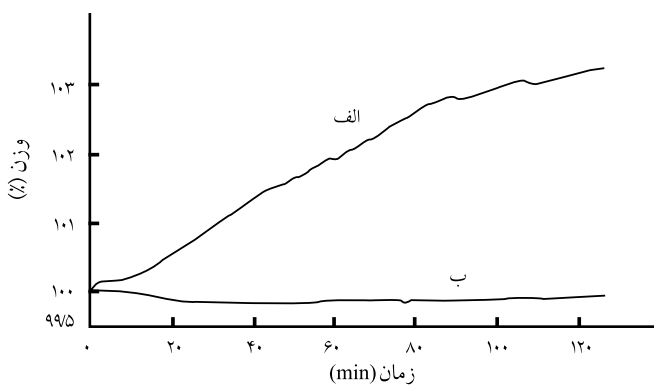
نتایج و بحث

در این بخش ابتدا اثر ضخامت نمونه روی تخریب گرمایی اکسایشی ۱،۴- پلی بوتادیان بررسی شد. سپس، تخریب دو ایزو مر ۱،۴- پلی بوتادیان و ۱،۲- پلی بوتادیان با یک دیگر مقایسه شد و در انتها نیز تغییر ساختار ۱،۴- پلی بوتادیان در اثر اکسایش گرمایی با استفاده از طیف سنجی $^{13}\text{C NMR}$ بررسی شد.

اثر ضخامت نمونه

منحنی تجربی تغییرات درصد افزایش وزن نمونه ۱،۴- پلی بوتادیان به شکل تابعی از زمان برای نمونه‌ها با ضخامت‌های ۱۰۰، ۳۰۰، ۵۰۰ و $2000\text{ }\mu\text{m}$ در دمای 100°C در شکل ۱ آورده شده است.

همان طور که در شکل ۱ مشاهده می‌شود، با افزایش ضخامت نمونه مقدار افزایش درصد وزن آن کاهش می‌یابد. بیشترین مقدار افزایش وزن به ازای واحد وزن نمونه در حدود $6/5\text{ \%}$ است که مربوط به نمونه با ضخامت $100\text{ }\mu\text{m}$ است. این مقدار با نتایج گزارش شده

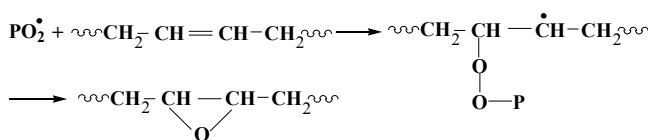


شکل ۳- دمانگاشتهای TGA: (الف) ۱،۴- پلی بوتادی ان و (ب) ۲،۱- پلی بوتادی ان در دمای ثابت 100°C ، زمان 120 min و مقدار $14/1\text{ mg}$

ولی مقدار آن در برابر افزایش وزن حاصل از ورود اکسیژن به زنجیر پلیمر قابل صرف نظر کردن است. نتایج جدول ۱ نیز نشان می دهد، هرچه مقدار پلیمر درون ظروف آلومینیمی آزمون DSC کمتر باشد، ضخامت رزین کمتر است و مقدار نفوذ اکسیژن به لایه های زیری که در تبادل با حسگر دستگاه است، بیشتر می شود. بنابراین، مقدار انرژی آزاد شده افزایش خواهد یافت.

با توجه به ساختار ۱،۴- پلی بوتادی ان و ۲،۱- پلی بوتادی ان می توان این امر را به این واقعیت نسبت داد که ۲،۱- پلی بوتادی ان، به علت ممانعت فضایی گروه های جانبی و پایداری گروه وینیلی به راحتی با اکسیژن هوا ترکیب نشده و در نتیجه دچار شکست زنجیر نمی شود و تغییری در ساختار آن به وجود نمی آید.

شناسایی محصولات اکسایش با استفاده از طیف سنجی $^{13}\text{C NMR}$
اکسایش گرمایی و انورشیمیایی الاستومرهای پلی بوتادی ان منجر به دامنه وسیعی از محصولات می شود که در این میان می توان به تشکیل گروه های پروکسید و اپوکسید اشاره کرد [۸]. در حقیقت اکسایش رادیکالی زنجیر منجر به شبکه ای شدن می شود که این امر در نتیجه افزایش رادیکال به پیوند دوگانه است. در طرح ۲ نحوه تشکیل اپوکسید که در نتیجه تجزیه پراکسید حاصل می شود، نشان داده شده است. در ضمن، تغییرات ایجاد شده در ریزساختار ۱،۴-



طرح ۲- نحوه تشکیل گروه های اپوکسید در زنجیر ۱،۴- پلی بوتادی ان.

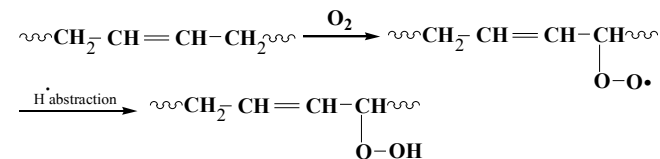
جدول ۱- نتایج مقدار انرژی آزاد شده نمونه های ۱،۴- پلی بوتادی ان و ۲،۱- پلی بوتادی ان از سطوح زیر منحنی دمانگاشتهای DSC در دمای 100°C به مدت 120 min .

نمونه	مقدار (mg)	مقدار انرژی آزاد (mcal/mg) شده
۱،۴- پلی بوتادی ان	۴/۱	۸۴/۳
	۷/۰	۴۲/۳
	۱۰/۵	۳۲/۷
	۱۴/۱	۲۱/۰
۲،۱- پلی بوتادی ان	۷/۳	-

در ضخامت فیلم پلیمر درون ظروف آلومینیمی برای انجام آزمون DSC است. با افزایش ضخامت فیلم پلیمر، تبادل گرمایی از کف ظرف کمتر می شود و نشان دهنده این است که زنجیرهای پلیمری در لایه های زیری کمتر تحت واکنش گرمایی اکسایشی و تخریب قرار می گیرند.

این نتایج با نتایج به دست آمده از روش وزن سنجی مطابقت دارد و نشان می دهد، مقدار افزایش وزن به ازای واحد وزن نمونه با افزایش ضخامت نمونه نسبت معکوس دارد. در حقیقت، افزایش وزن نمونه، به علت افزایش اکسیژن به ساختار پلیمر و تشکیل گروه های پروکسید در ساختار زنجیر است که در طرح ۱ قابل مشاهده است.

هم چنین در پژوهش حاضر، تخریب گرمایی اکسایشی ۱،۴- پلی بوتادی ان و ۲،۱- پلی بوتادی ان با یکدیگر مقایسه شد. نتایج حاصل از DSC و TGA به ترتیب در شکل های ۲ و ۳ آمده است. همان طور که از نتایج مشاهده می شود، برخلاف ۱،۴- پلی بوتادی ان، ۲،۱- پلی بوتادی ان تحت تأثیر اکسایش گرمایی قرار نگرفته است و افزایش وزن در آن مشاهده نمی شود. حتی در نمونه ۱،۴- پلی بوتادی ان کاهش وزن $13/۰\%$ پس از 120 min گرمادهی دیده می شود که می تواند به واکنش های واپلیمر شدن پلی بوتادی ان مربوط باشد. واکنش واپلیمر شدن می تواند در ۱،۴- پلی بوتادی ان نیز اتفاق بیفتاد.

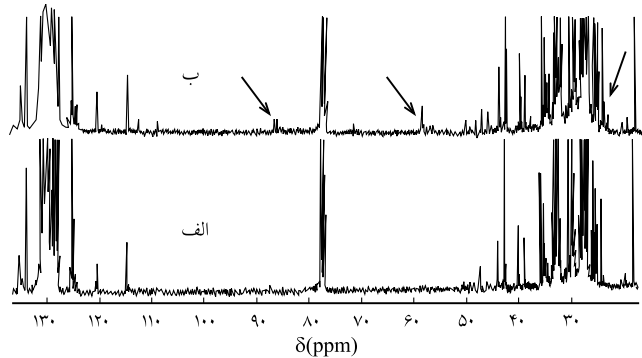


طرح ۱- تشکیل گروه های پروکسید حاصل از تخریب گرمایی اکسایشی ۱،۴- پلی بوتادی ان.

بنابراین، تا پیش از مرحله شبکه‌ای شدن گروه‌های پروکسید و اپوکسید در ^{13}C NMR قابل مشاهده است. از سطوح زیر منحنی به طور کیفی مشخص است که تعداد کربن‌های متین گروه‌های اپوکسید و پروکسید تا پیش از شبکه‌ای شدن در یک مرتبه است. با شبکه‌ای شدن، ۱،۴-پلی بوتادیان به واسطه واکنش‌های عرضی مقدار گروه‌های پروکسید به شدت افزایش یافته و رنگ نمونه‌ها نیز از مایع شفاف و بی‌رنگ به حالت جامد لاستیکی و زرد رنگ تبدیل می‌شود.

نتیجه گیری

با استفاده از روش‌های وزن سنجی و DSC این امکان وجود دارد که اثر ضخامت نمونه روی مقدار اکسایش گرمایی ۱،۴-پلی بوتادیان بررسی شود. افزون بر این، با استفاده از روش‌های TGA و DSC این امکان وجود دارد که مقدار اکسایش گرمایی دو زین، ۱،۴-پلی بوتادیان و ۲،۱-پلی بوتادیان را با یکدیگر مقایسه کرد. هم چنین، با استفاده از طیف سنجی ^{13}C NMR ^{13}C NMR عمدۀ ترین محصول اکسایش که به طور عمدۀ گروه‌های پروکسید و اپوکسید است، شناسایی شد.



شکل ۴- طیف ^{13}C NMR نمونه ۱،۴-پلی بوتادیان: (الف) پیش و (ب) پس از تخریب گرمایی اکسایشی در دمای 100°C

پلی بوتادیان در اثر اکسایش گرمایی، با استفاده از طیف‌سنجی ^{13}C NMR بررسی شد. در شکل ۴ طیف ^{13}C NMR نمونه ۱،۴-پلی بوتادیان پیش و پس از تخریب گرمایی اکسایشی آن آورده شده است. مشاهده می‌شود، پیک مربوط به گروه اپوکسید در ناحیه $58/6\text{ ppm}$ ظاهر شده که در شکل ۴ مشخص شده است. افزون بر این، پیک مربوط به گروه CH_2 مجاور گروه اپوکسید در $24/0\text{ ppm}$ قابل شناسایی است. پیک مربوط به کربن‌های گروه متین حاصل از تشکیل گروه‌های پروکسید نیز، که در طرح ۱ مشاهده می‌شود، در $86/7\text{ ppm}$ ظاهر می‌شود.

مراجع

- Chakraborty J., Sarkar J., Kumar R., and Madras G., Ultrasonic Degradation of Polybutadiene and Isotactic Polypropylene, *Polym. Degrad. Stab.*, **85**, 555-558, 2004.
- Golub M.A., Photocyclization of 1,2-Polybutadiene and 3,4-Polyisoprene, *Macromolecules*, **2**, 550-552, 1969.
- Golub M.A. and Rosenberg M.L., Photorearrangements of Hydrocarbon Polymers with Pendant Double Bonds, *J. Polym. Sci., Polym. Chem. Ed.*, **18**, 2543-2560, 1980.
- Anachkov M.P., Rakovsky S.K., and Zaikov G.E., Ozonolysis of Polybutadienes with Different Microstructure in Solution, *J. Appl. Polym. Sci.*, **104**, 427-433, 2007.
- Yang B., Shi Y., Fu Z., Lu Y., and Zhang L., A Study of the Ozonolysis of Butadiene Rubber in the Presence of Ethanol, *Polym. Degrad. Stab.*, **95**, 852-858, 2010.
- Zeng X.R. and Ko T.M., Thermal Crosslinking of Cis-1,4-Polybutadiene at Ultrahigh Pressures, *J. Appl. Polym. Sci.*, **67**, 2131-2140, 1998.
- Chen F. and Qian J., Studies on the Thermal Degradation of Polybutadiene, *Fuel Proc. Technol.*, **67**, 53-60, 2000.
- Jiang D.D., Levchik G.F., Levchik S.V., and Wilkie C.A., Thermal Decomposition of Cross-linked Polybutadiene and Its Copolymers, *Polym. Degrad. Stab.*, **65**, 387-394, 1999.
- Golub M.A., Thermal Rearrangements of Polybutadienes with Different Vinyl Contents, *J. Polym. Sci., Polym. Chem. Ed.*, **19**, 1073-1083, 1981.
- Ziaeef, Salehi-Mobarakeh H., Nekoomanesh M., and Arabi H., Study of Tacticity and Thermal Rearrangement of Low Molecular Weight 1,2-Polybutadiene by NMR, *e-Polymers*, **118**, 2008.
- Sanglar C., Quoc H.N., and Grenier-Loustalot M.F., Studies on Thermal Degradation of 1-4 and 1-2 Polybutadienes in Inert Atmosphere, *Polym. Degrad. Stab.*, **95**, 1870-1876, 2010.
- Coquillat M., Verdu J., Colin X., Audouin L., and Neviere R., Thermal Oxidation of Polybutadiene. Part 1: Effect of Temperature, Oxygen Pressure and Sample Thickness on the Thermal

- Oxidation of Hydroxyl-Terminated Polybutadiene, *Polym. Degrad. Stab.*, **92**, 1326-1333, 2007.
13. Coquillat M., Verdu J., Colin X., Audouin L., and Neviere R., Thermal Oxidation of Polybutadiene. Part 2: Mechanistic and Kinetic Schemes for Additive-Free Non-Crosslinked Polybutadiene, *Polym. Degrad. Stab.*, **92**, 1334-1342, 2007.
14. Coquillat M., Verdu J., Colin X., Audouin L., and Neviere R., Thermal Oxidation of Polybutadiene. Part 3: Molar Mass Changes of Additive-Free Non-Crosslinked Polybutadiene, *Polym. Degrad. Stab.*, **92**, 1343-1349, 2007.
15. Guyder M., Audouin L., Colin X., Verdu J., and Chevalier S., Epoxides in the Thermal Oxidation of Polybutadiene, *Polym. Degrad. Stab.*, **91**, 2813-2815, 2006.
16. Ziaeef F., Salehi-Mobarakeh H., and Nekoomanesh M., Thermal Rearrangement Study of Low Molecular Weight Polybutadiene, *Polym. Degrad. Stab.*, **94**, 1336-1343, 2009.
17. De Paoli M.A., The Chemical Effects of Photo-Oxidation on Butadiene Rubber, *Eur. Polym. J.*, **19**, 761-768, 1983.
18. Gemmer R.V. and Golub M.A., ¹³CNMR Spectroscopic Study of Epoxidized 1,4-Polyisoprene and 1,4-Polybutadiene, *J. Polym. Sci., Polym. Chem. Ed.*, **16**, 2985-2990, 1978.

Archive of SID